

ლექცია 19

4.2 სიბნალები გამოყენილაციით

შევისწავლით მოდულირებული რადიოსიგნალები, რომლებიც მიიღება იმის ხარჯზე, რომ გადამტანი პარმონიულ რხევაში $u_{\text{გამ}}(t) = U_m \cos(\omega_0 t + \varphi)$ გადასაცემი შეტყობინება $s(t)$ ცვლის ან სიხშირეს ω , ან საწყის ფაზას φ ; ამპლიტუდა U_m რჩება უცვლელი. რამდენადაც პარმონიული რხევის არგუმენტი $\psi(t) = \omega t + \varphi$, რომელსაც ეწოდება **სრული ფაზა**, განსაზღვრავს ფაზური კუთხის მიმდინარე მნიშვნელობას, ასეთმა სიგნალებმა მიიღეს **კუთხური მოდულაცია** სიგნალების სახელწოდება.

4.2.1. გამოყენილაციის სახელები

ა) ზაზური მოდულაცია

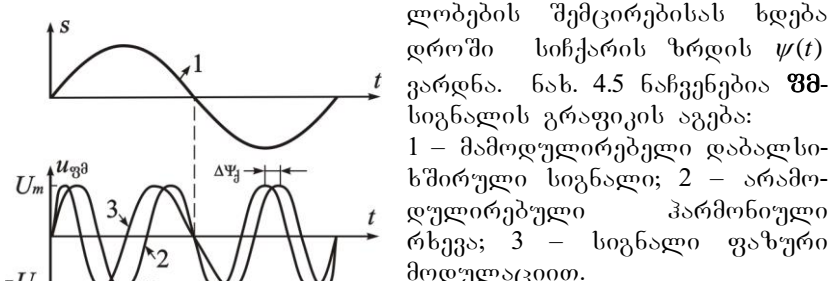
დაგუშვათ დასაწყისში, რომ სრული ფაზა $\psi(t)$ დაკაგშირებულია $s(t)$ სიგნალთან დამოკიდებულებით:

$$\psi(t) = \omega_0 t + ks(t), \quad (4.19)$$

სადაც ω_0 - სიხშირის მნიშვნელობაა სასარგებლო სიგნალის არარსებობისას; k - პროპორციულობის რაიმე კოეფიციენტი. მოდულაციას, რომელიც პასუხობს (4.19) თანაფარდობას, **ფაზური მოდულაცია** (გვ) ეწოდება:

$$u_{\text{ფვ}}(t) = U_m \cos[\omega_0 t + ks(t)]. \quad (4.20)$$

თუ სიგნალი $s(t) = 0$, მაშინ **ვარსევა** წარმოადგენს მარტივ პარმონიულ რხევას. $s(t)$ სიგნალის მნიშვნელობების გაზრდით სრული ფაზა $\psi(t)$ იზრდება დროში უფრო სწრაფად, ვიდრე წრფივი კანონით. მამოდულირებელი სიგნალის მნიშვნელობების შემცირებისას ხდება დროში სიჩქარის ზრდის $\psi(t)$ გარდნა. ნახ. 4.5 ნაჩვენებია **ვარსევის** გრაფიკის აგება:



ნახ. 4.5

ლურ მნიშვნელობებს, აბსოლუტური ფაზური ძვრა **განალისა** და არამოდულირებულ პარმონიულ რხევას შორის აღმოჩნდება მცირე. ამ ფაზური ძვრის ზღვრულ მნიშვნელობას უწოდებენ **ფაზის დევიაციას** $\Delta\psi$. ზოგად შემთხვევაში, როცა $s(t)$ სიგნალი იცვლის ნიშანს, მიღებულია გაირჩეს **ფაზის დევიაცია ზევით** $\Delta\psi_b = ks_{\max}$ ($\text{როცა } s(t) > 0$) და **ფაზის დევიაცია ქვევით** $\Delta\psi_d = ks_{\min}$ ($\text{როცა } s(t) < 0$).

ეექტორულ დიაგრამაზე მუდმივი სიდიდის გამომსახველი ეექტორი შეასრულებს ბრუნვას არამუდმივი კუთხური სიჩქარით. სიგნალის **მყისირული სიხშირე** $\omega(t)$ კუთხური მოდულაციით განისაზღვრება როგორც სრული ფაზის პირველი წარმოებული დროის მიხედვით:

$$\omega(t) = \frac{d\psi}{dt}, \quad (4.21)$$

$$\text{ასე, რომ} \quad \psi(t) = \int_{-\infty}^t \omega(\tau) d\tau + \text{const.} \quad (4.22)$$

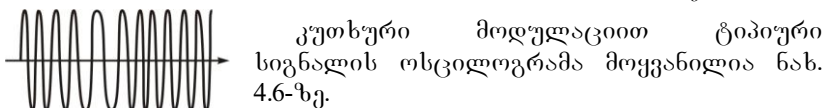
ბ) სიხშირული მოდულაცია

სიგნალის **სიხშირული მოდულაციისას** (სბ) $s(t)$ და $\omega(t)$ სიდიდეებს შორის არსებობს შემდეგი სახის კავშირი

$$\omega(t) = \omega_0 + ks(t). \quad (4.23)$$

$$\text{ამიტომ} \quad u_{\text{ბ}}(t) = U_m \cos[\omega_0 t + k \int_{-\infty}^t s(\tau) d\tau]. \quad (4.24)$$

ზოგადი სახის, ფორმულა (4.23) მიხედვით, სმ-სიგნალის ბუნებრივი პარამეტრები წარმოადგენენ: **სიხშირის დევიაცია ზევით** $\Delta\omega_b = ks_{\max}$ და **სიხშირის დევიაცია ქვევით** $\Delta\omega_d = ks_{\min}$.



ნახ. 4.6 თუ $s(t)$ -საქმარისად გლუვი ფუნქციაა, მაშინ **განალის** და **სბ-** სიგნალების გარე ოსცილოგრამები არ განსხვავდებიან.

4.2.2. მრთელონალური სიგნალები კუთხერი მოდულაციით

ზმ- და **სმ-**სიგნალების ანალიზი მათემატიკური თვალსაზრისით უფრო რთულია, ვიდრე ამ-რჩევების გამოკვლევა. ამიტომ ძირითადი ყურადღება დაეთმობა უმარტივეს ერთტონალურ სიგნალებს.

ერთტონალური სმ-სიგნალის შემთხვევაში მყისიერი სიხშირე

$$\omega(t) = \omega_0 + \Delta\omega \cos(\Omega t + \Phi_0),$$

სადაც $\Delta\omega$ – სიგნალის სიხშირის დევიაცია. (4.17) ფორმულის საფუძველზე ასეთი სიგნალის სრული ფაზა

$$\psi(t) = \omega_0 t + \frac{\Delta\omega}{\Omega} \sin(\Omega t + \Phi_0) + \varphi_0,$$

სადაც φ_0 – რაიმე მუდმივი ფაზური კუთხეა.

აქედან ჩანს, რომ სიდიდე $m = \Delta\omega / \Omega$, (4.25)
რომელსაც ეწოდება **ერთტონალური კუთხური მოდულაციის ინდიქტორი**, წარმოადგენს ასეთი სიგნალის ფაზის დევიაციას, გამოსახულს რადიანებში.

სიმოკლისათვის დაგუშვათ, რომ დროში U_m უცვლელი ფაზური კუთხეები $\varphi_0 = \Phi_0 = 0$, და **სმ-**სიგნალის მყისიერი მნიშვნელობა გამოვსახოთ შემდეგი სახით

$$u_{bb}(t) = U_m \cos(\omega_0 t + m \sin \Omega t) \quad (4.26)$$

ერთტონალური **ზმ-**სიგნალის ჩაწერის ანალიზური ფორმა იქნება ანალოგიური. ამასთან მხედველობაში უნდა გვქონდეს შემდეგი: **სმ-** და **ფმ-**სიგნალები იქცევიან სხვადასხვანირად მოდულაციის სიხშირისა და მამოდულირებელი სიგნალის ამპლიტუდის ცვლილებისას.

4.2.3. ზმ- და სმ- სიგნალებს შორის განსხვავება

ფმ- და **სმ-** სიგნალებს შორის არსებობს პრინციპული განსხვავებები:

1. ფაზური ძვრა **ზმ-**სიგნალსა და არამოდულირებულ რეგვას შორის $s(t)$ -ს პროპორციულია, იმ დროს, როცა **სმ-**სიგნალისათვის ეს ძვრა გადასაცემი შეტყობინების ინტეგრალის პროპორციულია;
2. სიხშირული მოდულაციისას სიხშირის დევიაცია $\Delta\omega$ პროპორციულია დაბალსიხშირული სიგნალის ამპლიტუდის. ამავე დროს სიდიდე $\Delta\omega$ არ არის დამოკიდებული მამოდულირებელი სიგნალის სიხშირეზე.

ფაზური მოდულაციის შემთხვევაში მისი ინდექსი m აღმოჩნდება დაბალსიხშირული სიგნალის ამპლიტუდის პროპორციული მისი სიხშირისაგან დამოუკიდებლად. როგორც ამის შედეგი, სიხშირის დევიაცია ფაზური მოდულაციისას (4.25) ფორმულის შესაბამისად სიხშირის ზრდასთან ერთად წრფივად იზრდება.

პაგალითი 4.2. რადიოსადგური, რომელიც მეშვიდე მოკლებაღროვან დიაპაზონში $f_0 = 80$ ჰეც გადამტანი სიხშირით, გამოახსივებს 30-ხიგნალს, მოდულირებულს სიხშირით $F = 15$ ჰეც. მოდულაციის ინდექსი $m = 12$. ვითვრთ ზღვრები, რომელშიც იცვლება სიგნალის მყისიერი სიხშირე და სიგნალის მათემატიკური მოდული.

ამონენა:

1. ამოცანის პირობიდან გამომდინარე სიხშირის დევიაცია შეაღება $\Delta f = mF = 1.8 \cdot 10^5 = 180$ ჰეც. ამგვარად, მოდულაციისას სიგნალის მყისიერი სიხშირე იცვლება ზღვრებში $f_{\min} = f_0 - \Delta f = 80 - 0.18 = 79.82$ ჰეც-დან $f_{\max} = f_0 + \Delta f = 80 + 0.18 = 80.18$ ჰეც-მდე.
2. ვინაიდან სიგნალის მათემატიკურ მოდულს, დროში უცვლელი ფაზური კუთხებით $\varphi_0 = \Phi_0 = 0$, აქცი სახე $u(t) = U_m \cos(\omega_0 t + m \sin \Omega t)$, ასეინ

$$u(t) = U_m \cos[2\pi \cdot f_0 t + 12 \sin(2\pi \cdot (\Delta f / m) \cdot t)] = \\ = U_m \cos[2\pi \cdot 8 \cdot 10^7 t + 12 \sin(2\pi \cdot 1.5 \cdot 10^4 t)]$$

U_m უცნობის სიდიდე არ ახდენს გავლენას მყისიერ სიხშირის მნიშვნელობაზე.

კინაიდან ერთტონალური კუთხური მოდულაციის ინდუქცია $m = \Delta\omega/\Omega$, მაშინ ცხადია, რომ $\Omega = \Delta\omega/m = 2\pi\Delta f/m$.

$$F = \Delta f/m$$

აქედან ჩანს, რომ სიდიდე $m = \Delta\omega/\Omega$, რომელსაც ეწოდება, წარმოადგენს ასეთი სიგნალის ფაზის დევიაციას, გამოსახულს რადიანებში.

* 1. ამპლიტუდური მოდულაციის პრინციპებზე აგებულია მრავალი რადიომაუწყებელი სისტემა

2. ამპლიტუდური მოდულაციისას არ ხერხდება გადასაცემი სიგნალების ფართო დინამიკური დიაპაზონის უზრუნველყოფა

მოდულაცია

ამ-სიგნალი და მისი მომვლები

მომვლები და შევსება

ამპლიტუდური მოდულაციის კოეფიციენტი

ამოხსენით ამოცანა 3

თუ ამპლიტუდა ორჯერ იზრდება, მაშინ სიმძლავრე იზრდება ოთხჯერ

გადამოდულაცია

ერთტონალური მოდულაცია სიმეტრიულია,
გ.ო. $M_b = M_J = M$

როგორც ცნობილია

ამოხსენით ამოცანა 1

(4.6) გამოსახულებაში არიან როგორც წყაროთა საბუთარი სიმძლავრეები, ასევე ურთიერთსიმძლავრეები, რომლებიც პროპორციულია მყისიერი ძაბვების

ამოხსენით ამოცანა 5

ფურიეს მწერივისაგან განსხვავებით სიხშირეები არა არის საგალდებულო იყვნენ ერთმანეთის ჯერადნი

მოდულაციის პარციალური კოეფიციენტები

ამპლიტუდური მოდულაციით სიგნალის სპექტრის
სტრუქტურა

სრული ფაზა

ფაზური მოდულაცია

ფაზის დევიაცია

მყისიერი სიხშირე

სიხშირული მოდულაცია

პუთხური მოდულაციის ინდექსი

ამოხსენით ამოცანები 6 და 7

განსხვავება სმ- და ფმ-სიგნალებს შორის